

بررسی دگرسانی و کانی‌سازی مس پورفیری در منطقه سوناجیل (خاور هریس- استان آذربایجان شرقی)

قادر حسین‌زاده^{۱*}، علی‌اصغر کلاکبری^۲، محسن مؤید^۳، بهزاد حاج‌علیلو^۴ و محسن مؤذن^۵

^۱گروه زمین‌شناسی، دانشکده علوم طبیعی، دانشگاه تبریز، تبریز، ایران

^۲مرکز تحقیقات علوم پایه تبریز، تبریز، ایران

^۳گروه زمین‌شناسی دانشگاه پام نور تبریز، تبریز، ایران

تاریخ دریافت: ۱۴۸۶/۰۹/۱۰ تاریخ پذیرش: ۱۴۸۷/۱۱/۲۲

چکیده

منطقه سوناجیل در ۱۷ کیلومتری خاور هریس در استان آذربایجان شرقی واقع شده است. واحدهای سنگ‌شناختی اصلی در این منطقه از قدیم به جدید عبارتند از: توده‌های آتشفشاری- آذرآواری اتوسن زیرین- میانی، استرک سوناجیل پورفیری به سن اتوسن بالایی- الیگومن نزیرین، توده گرانیتوبیدی اینچه با ترکیب دوریت، سینودیوریت تا گابرو به سن الیگومن میانی- بالایی و توده آتشفشاری پلیو- کواترنری اکوزداغی. استرک سوناجیل پورفیری میزان کانی‌سازی مس پورفیری بوده و ترکیب شیمیایی آن در حد میکرو‌سینودیوریت تا میکرو‌گابرو-دوریت و تا حد میکرو-گابرو و میکرو-گرانودیوریت بافت چهار پورفیری و تا حد کمتری میکرولیپیک پورفیری می‌باشد. مانگانی مولد این توده، دارای مرشت شوشونیتی (تا کلسیمی- قلیایی با K بالا) بوده و جایگزینی آن در یک کمان آتشفشاری پس برخوردی صورت گرفته است. نسل‌های مختلف از رگجه‌های کوارتز نواری، کوارتز- سولفید، کوارتز- اکسید و سولفید در داخل توده پورفیری توسعه یافته و بافت استرک ورک مشخصی را به نمایش گذاشته‌اند. در اطراف توده پورفیری، رگه‌های حاوی کانی‌سازی سولفیدی قابل مشاهده‌اند. ۳ تیپ دگرسانی هیپوژن گرمابی شامل پتاسمی، فیلیک و پروپیلیپیک در این توده حضور دارند. کانی‌های هیپوژن اصلی در این توده عبارتند از پیریت، کالکوپیریت، بورنیت، ترااندریت، اناژریت، مولیبدنیت، مگنتیت و هماتیت که به صورت افشار و استرک ورک (رگجه‌ای و ریز رگجه‌ای) حضور دارند. کانی‌های اصلی سوپرژن در این توده نیز شامل هماتیت، گوتیت، ملاکیت، آزوریت، کالکوپیریت، کوولت و کانی‌های رسی می‌باشند.

کلیدواژه‌ها: سوناجیل، مس پورفیری، کمان آتشفشاری پس برخوردی، دگرسانی هیپوژن، دگرسانی پتاسمی، دگرسانی سوپرژن.

*نویسنده مسئول: قادر حسین‌زاده

۱- مقدمه

منطقه سوناجیل در فاصله ۱۷ کیلومتری خاور هریس در استان آذربایجان شرقی واقع شده است (شکل ۱). وجود کانی‌سازی مس و دگرسانی شدید گرمابی در این منطقه در سال ۱۴۸۰ توسط امور اکتشافات شرکت ملی صنایع مس ایران مشخص شده و از آن زمان تا کنون پژوهش‌های مختلف زمین‌شناسی، ژئوشیمی، ژئوفیزیک و حفاری در این منطقه ادامه دارد. در این نوشان ضمん مطالعه زمین‌شناسی، جایگاه زمین‌ساختی و سنگ‌شناختی توده‌های آذرین، به بررسی تیپ‌های مختلف و کانی‌شناسی دگرسانی گرمابی هیپوژن و شیوه کانی‌سازی در توده پورفیری پرداخته شده است.

۲- روش مطالعه

برای انجام بررسی‌های حاضر، عملیات صحرایی و نمونه‌برداری سطحی، لاغنگنگ گمانه‌ها (به مترأز حدود ۵۵۰۰ متر شامل ۱۷ حلقه گمانه با ژرفای متوسط حدود ۱۳۰ متر) و به طور همزمان، بررسی سنگ‌شناختی و کانی‌نگاری نمونه‌های سطحی و ژرفی توسط نگارنده انجام شد که به تهیه نفعه زمین‌شناسی و دگرسانی انجامید. تعداد ۲۴ عدد نمونه از توده پورفیری سوناجیل برای تعیین عناصر اصلی (نمونه‌های با کمترین دگرسانی)، فرعی و کمیاب به روش‌های XRF و ICP (جدول ۱) به آزمایشگاه ALS-Chemex کشور کانادا ارسال شد و تعدادی از نمونه‌های دگرسان شده در دانشگاه لئون اتریش مورد تجزیه میکروپروروب (Electron Probe Micro Analysis) قرار گرفت. بررسی‌های ترمومتری سیالات در گیر نیز به تعداد ۱۰ نمونه در دانشگاه تربیت مدرس تهران انجام شد.

کلی، انواع آنها از قدیم به جدید عبارتند از:

- رگچه‌های کوارتز- سولفید حاوی توزعی از سولفیدها (%۵۰-٪۶۵)، کلسیت، اورتوکلاز ثانویه و مگنتیت انداز در زون پاتاسیم.
- رگچه‌های کوارتز نواری (Banded quartz) در بخش‌های مختلف زون پاتاسیم حاوی کوارتزهای به نسبت ریزدانه و به رنگ خاکستری تیره که حالت متقاطع آنها نشان دهنده خردشده‌گی‌های مکرر و چندمرحله‌ای بوده (شکل ۲) و دارای مگنتیت و سولفیدهای میکرونی و سیال‌های درگیر غنی از بخار به همراه مقادیر جزئی کلسیت می‌باشد.
- رگچه‌های کوارتز- هماتیت در ژرفاهای مختلف زون فیلیک و پاتاسیم که دارای مقادیر اندازکی کالکوپیریت و دیگر سولفیدها و سولفوسالت‌های مس هستند.
- رگچه‌های پیریتی در زون‌های پاتاسیم و فیلیک که در محل شکستگی‌ها در اثر دگرسانی سوپرژن به هماتیت (%۲۰-٪۳۰) و گوتیت (%۵-٪۱۰) تبدیل شده‌اند (شکل ۲). مقادیر بسیار اندازکی کلسیت (%۵-٪۱۰) نیز در این رگچه‌ها قابل مشاهده‌اند.
- رگچه‌های کوارتز شیری سفیدرنگ و به نسبت عرضی (۴mm) که قادر کانی‌سازی اکسیدی یا سولفیدی بوده و در برخی قسمت‌ها به صورت پرکشته فضاهای خالی و دروزی دیده می‌شوند.
- رگچه‌های سولفیدی به عرض متوسط حدود ۴cm در حاشیه توده پورفیری (زون فیلیک) دارای کانی‌سازی مس به نسبت پر عیار (%۳۰-٪۴۰) که رخمنون مشخص آن در طول دره اصلی چنگل با تشکیل مالاکیت و آزوپریت قابل مشاهده است (شکل ۶).
- رگچه‌های تک کانی‌بیهی پیس، کلسیت و هماتیت که در بخش‌های مختلف توده حضور دارند.

۴-۳. دگرسانی گرمه‌بیهی‌زون

توده سوناجیل پورفیری تحت تأثیر سیال‌های گرمابی متحمل دگرسانی گستره‌ای شده و انواع مختلف دگرسانی را می‌توان در آن مشاهده نمود. بسته به نوع دگرسانی گرمابی، انواع کانی‌های ثانویه در این سنگ حضور داشته و کانی‌های سولفیدی و اکسیدی به فرم افشاران، ریز رگچه‌ای، رگچه‌ای و رگچه‌ای به فراوانی در این زون‌های دگرسانی به چشم می‌خورند. توزعی از رگچه‌های کوارتز- سولفید، کوارتز- اکسید و کوارتز- کربنات همراه با این دگرسانی‌ها نفوذ کرده‌اند. مجموعه‌های دگرسانی در این توده به شرح زیر قابل مشاهده‌اند:

- دگرسانی پاتاسیمی؛ دگرسانی پاتاسیم (Creasey, 1966; Sillitoe, 2000) دگرسانی شاخص در کانسارهای K سیلیکاتی (Lowell and Guilbert, 1970) یا
- پورفیری مس بوده و با تشکیل بیویت غنی از مینزیم (Sillitoc, 2000) و پاتاسیم فلدسپار ثانویه مشخص می‌شود. طبق Seedorff et al. (2005) تورمالین و کلریت نیز در این زون قابل مشاهده بوده و مقادیر زیادی کلسیت به طور فرعی اکتینولیت (Sillitoc, 2000) حضور دارد. این دگرسانی در منطقه مورده مطالعه، در نمونه‌های سطحی و نیز تاژرفای بسیار فراوانی از گمانه‌های حفاری قابل مشاهده بوده و در نمونه دستی بالکه‌های تیره حاصل از تجمع پولک‌های بیویت مشخص می‌باشد. در مقطع نازک، این مجموعه مشتمل از پولک‌های بسیار ریز بیویت نوییدا (%۳۰-٪۵۰) حاصل از دگرسانی هورنبلن و صفحات درشت بیویت مگماقی به صورت انباسته‌های پولکی (شکل ۵) و مقادیر به نسبت کمتری - فلدسپارقلایی ثانویه (%۱۵-٪۲۰) حاصل از دگرسانی پلاتزیوکلاز با رویه‌ی رشدی (Overgrowth) مشخص (شکل ۵) می‌باشد. همچنین اورتوکلاز در این زون به صورت رگچه‌های کوارتز- K- فلدسپار ظاهر شده و در این حالت به طور معمول حاصله کوارتز را تشکیل می‌دهد. مقادیر خیلی جزئی اکتینولیت نیز در برخی نمونه‌ها مشاهده شده است. ویژگی

سیماهای مشخص برای اثبات تأخیر این توده نسبت به توده سوناجیل پورفیری است. مانگماقی مولد این توده دارای سرشت شوشونیتی بوده و از نظر جایگاه زمین‌ساختی در محدوده کمان‌های آتشفشاری با تعاملی مشخص به سمت جایگاه‌های پس برخوردی واقع شده‌اند (حسین زاده، ۱۳۸۷).

(د) توده آتشفشاری اکوزداغی به سن پلیو- کواترنری با ترکیب آندزیت، تراکی آندزیت، داسیت و رویلت نمونه بازز فوران نقطه‌ای در منطقه هریس بوده و بخش بزرگی از توده سوناجیل پورفیری و توده‌های درون گیر آن توسط گدازه‌ها و واژه‌های این توده پوشانده شده است. مانگماقی مولد این سنگ‌ها دارای سرشت کلسیمی- قلبایی تا کلسیمی- قلبایی با پاتاسیم بالا بوده و در یک کمان مانگماقی پس برخوردی جایگزین شده است (حسین زاده و همکاران، ۱۳۸۷).

۳-۲. سنتنکتاری و سنتکشنسی توده سوناجیل پورفیری

نمونه‌های مریوط به توده سوناجیل پورفیری به رنگ خاکستری روشن با یافته پورفیری (شکل ۲-۸) و ظاهری دگرسان شده بوده و رگچه‌های متقاطع (سل‌های مختلف) کوارتز- سولفید به صورت استوکورک (شکل ۲-۹) در آن به فراوانی دیده می‌شوند. در زیر میکروسکوپ، بافت چیره سنگ، پورفیری بوده اما یافته میکرولیتی پورفیری نیز گاه دیده می‌شود. پلاتزیوکلاز (%۴۰-٪۶۵) به صورت درشت بلور (۴mm) و میکرولیتی در زمینه سنگ فراوان‌ترین کانی در این توده بوده و به شدت دگرسان شده است. کلینپیرروکسن اوپیت (۲۰-٪۴۰) به مقدار کمی حفظ شده و به طور عمدی به کانی‌های ثانویه تبدیل شده است. هورنبلند (۱۵-٪۲۰) و بیویت (۱۰%) به مجموعه‌ای از بیویت ثانویه، کانی‌های تیره (هماتیت، مگنتیت و تیتانومگنتیت)، کوارتز، کلریت و اپیدوت تبدیل شده و مقادیر کمی از آنها باقی مانده است. کوارتز اولیه (۵-٪۱۰) به صورت ریزدانه در متن سنگ حضور داشته اما کوارتز ثانویه (۳۵-٪۴۰) به طور عمدی به صورت رگ- رگچه‌ای ای در انباسته‌های ثانویه دیده می‌شود. به دلیل دگرسانی شدید این توده، کانی‌شناختی اولیه آن به طور دقیق قابل بررسی نبوده، اما بر اساس کانی‌های اولیه این توده، کانی‌های ثانویه تشکیل شده می‌توان ترکیب دیبوریتی تا کوارتزدیبوریتی برای آن در نظر گرفت. همچنین تعیین ترکیب این توده نمودارهای شیمیایی بر اساس اکسیدهای اصلی ممکن نبوده اما براساس عنصر فرعی و کمیاب (جدول ۲) در نمودار (Nb/Y) - (Zr/TiO₂) پیشنهادی (1977) Winchester & Floyd پیشنهادی دیبوریت و تعداد کمی در محدوده گابرو و گراناتدیبوریت قرار می‌گیرند (شکل ۳)، با توجه به بافت و ماهیت تیمه‌نفوذی این توده، بهتر است از پیشوند "میکرو" استفاده شود.

برای تعیین سری مانگماقی توده سوناجیل پورفیری از نمودار Pearce et al. (1984) استفاده شده است. در این نمودار، تمامی نمونه‌های این توده در محدوده شوشونیتی قرار گرفته‌اند (شکل ۴). لازم به ذکر است که همین نتایج از مطالعه سنگ‌شناسی دیگر توده‌های آذربایجان منطقه (حسین زاده، ۱۳۸۷؛ حسین زاده و همکاران، ۱۳۸۴) نیز به دست آمده است.

بررسی جایگاه زمین‌ساختی توده پورفیری، کمان‌های آتشفشاری با تعاملی مشخص به سمت جایگاه‌های پس برخوردی را برای این توده نشان داده است در ضمن، این توده در محدوده گرانیت‌های کمان‌های آتشفشاری و همزمان با برخورد (VAG+Syn-Col) و محدوده پس برخوردی پیشنهادی Pearce (1996) جایگزین شده است.

۳-۳. انواع و گه- و گچه‌های دو توده پورفیری

در بررسی‌های میکروسکوپی، نسل‌های مختلفی از رگچه‌ها با محیط‌یابات متفاوت شناسایی شده‌اند گرچه تقدم و تأخیر برخی از آنها قابل تشخیص نیست اما به طور

پلازیوکلاز) مشخص می‌باشد. در این زون بخش اعظم نمونه به سریست (۵۰-۵۶٪) تبدیل شده است (شکل ۵). مقدار زیادی از پلازیوکلازها به سریست دگرسان شده‌اند و فقط شکل و قالب آنها تا حدی قابل تشخیص است (شکل ۵). در رخمنونهای سطحی زون پاتاسمی در این توده، همراه سریست و سولفیدهای فیلیک و پاتاسیک دیده می‌شود. کوارتز (۲۰-۵۴٪) به همراه سریست و سولفیدهای مثل پیریت (۰-۵٪) و کالکوپیریت (۰-۳٪) و مقادیر اندکی تتراندریت و ثانیت در این سنگ‌ها دیده می‌شوند. تورمالین دراویت به شکل شعاعی (۰-۵٪) دریشتر نمونه‌ها، حضور داشته (شکل ۵) و مقادیر ایلیت و کاتولیت در تجزیه‌های XRD (حسین زاده، ۱۳۸۷)، گزارش شده است. با توجه به ماهیت محرب این دگرسانی، آثار بسیار اندکی از کانی‌های اولیه قابل تشخیص بوده و مقادیر به نسبت زیادی کلیست در هم‌رشدی با تورمالین و سریست حضور دارد. با توجه به گرماسنجی (ترمومتري) سیال‌های درگیر، درجه حرارت تشکیل این مجموعه دگرسانی در منطقه مورد مطالعه، کمتر از ۳۰۰°C برآورد شده و به عقیده Seedorff et al. (2005) حضور ایلیت نشان‌دهنده دمای تشکیل ۲۵۰-۳۰۰°C می‌باشد.

- ۵- گوسانی پروپیلیتیکه این دگرسانی در حاشیه توده سوناجیل پورفیری با تغییر رنگ سنگ‌ها از خاکستری به سبز در سطح برونزدها (باشد متفاوت) قابل مشاهده است. این دگرسانی تا فواصل زیادی از مرکز سامانه به سمت باخته و جنوب باخته ادامه دارد. در این زون، پلازیوکلازها به طور کامل به اپیدوت و کلیست و کلریت و کلیست تبدیل فرمونتین (به طور عمده هوونبلند و بیوتیت) به اپیدوت، کلریت و سنگ‌های شده‌اند (شکل ۵). به علت ماهیت آنلزیتی- دیبوریتی توده پورفیری و سنگ‌های درونگیر، میزان سریست در این زون بسیار جزئی بوده اما مقادیر به نسبت زیادی مگنتیت (۰-۱۰٪) به طور عمده ماریتی شده به صورت افسان در این سنگ‌ها حضور دارد. در سطح بروزدها، کانی‌های سولانیتی در این زون به چشم نمی‌خورد اما فضاهای خالی مکعبی می‌تواند حاکی از شستشوی پیریت پیشین در این زون باشد. فضاهای حاصل از دگرسانی کانی‌های فرمونتین توسط مجموعه کلریت- کلیست- اپیدوت- زنولیت پر شده‌اند (شکل ۵). طبق شواهد میکروسکوپی، آهن آزاد شده از کانی‌های فرمونتین و پیریت صرف تشکیل مگنتیت در این زون شده است.

- ۵- گوسانی آزویلیتیکه رخمنونهای مشخص رسی در بخش‌های مختلف توده پورفیری قابل مشاهده بوده و نتایج تجزیه XRD از نمونه‌های سطحی و عمقی این توده، حضور کانی‌های رسی از جمله کاتولیتیت، مونتموریوپیت، ایلیت و پیروفیلت را مشخص نموده است. حضور کانی‌های رسی در تمامی اعماق گمانه‌ها، حضور پیروفیلت (دما بالا) و عدم همراهی گسترده جارویست با مجموعه‌های رسی شواهدی دال بر این که افزون بر پوشش رسی سوپرژن، بخش اعظم دگرسانی آزویلیت دارای منشاً هیوژن می‌باشد.

الف) دگرسانی آزویلیتیک پیشرفت: بر اساس نتایج تجزیه XRD، این دگرسانی در منطقه سوناجیل با حضور پیروفیلت و کاتولیتیت به عنوان کانی‌های شاخص در بخش‌های مختلف توده مشخص می‌شود (حسین زاده، ۱۳۸۷). بر اساس نظر (2000)، Sillitoe (1998) و Hedenquist et al. (1998)، Seedorff et al. (2005)، Sillitoe (2000)، Rac et al. (2003) و مطالعات دیگر، پیروفیلت به عنوان کانی اصلی این دگرسانی به شمار می‌آید.

ب) دگرسانی آزویلیتیک حد واسطه: این دگرسانی با حضور کانی‌های رسی از قبیل کاتولینیت، سریست، ایلیت، مونتموریوپیت، کلریت، کلیست و اسماکنیت مشخص می‌شود (Seedorff et al., 2005; Sillitoe, 2000; Sillitoe & Gappe, 1984). در نمونه‌های سطحی و عمقی می‌شود (Sillitoe, 2000; Sillitoe & Gappe, 1984).

دگرسانی پاتاسمی در این توده، مقدار فراوان بیوتیت و مقدار کم فلدسپار قلایی ثانویه است که این را می‌توان به طبیعت به نسبت بازیک تر توده میزبان نسبت به توده‌های موزنونیتی- کوارتز-موزنونیتی میزبان کانسارهای مشابه نسبت دارد. بر اساس نظر Ulrich and Heinrich (2002)، دگرسانی پاتاسمی در توده‌های آنلزیتی (دیبوریتی) از نوع بیوتیتی بوده و مقدار کمی اورتوز ثانویه تشکیل می‌شود. بخش عمدۀ کانی سازی سولفیدی و اکسیدی در این زون صورت گرفته است و بیشترین تراکم رگجه‌های کوارتز- سولفید، کوارتز- مگنتیت و کوارتز- کربنات- سولفید نیز در این زون مشاهده می‌شود. مقادیر به نسبت زیادی تورمالین دراویتی به صورت ستاره‌ای و اسفلولیتی ریزدانه به همراه کلیست و گجه‌ای و پراکنده در این زون به چشم می‌خورند که Hemley et al. (1980) و Seedorff et al. (2005) سطحول‌های غنی از بور (B) را عامل اصلی تشکیل این کانی‌ها در اثر واکنش با اورتوكلاز و سریست دانسته‌اند. طبق نتیجه تجزیه ICP، مقدار متوسط مس در این زون حدود ۱۲۰۰ ppm و بیشترین آن حدود ۳۷۰۰ ppm می‌باشد. تجزیه میکروپروب از بیوتیت‌های ثانویه زون پاتاسمی و مقایسه آنها با بیوتیت اولیه (به نسبت دگرسان شده) نشان می‌دهد که مقادیر MgO و SiO_2 در انواع ثانویه، افزایش و مقادیر FeO ، TiO_2 و MnO کاهش یافته‌اند (جدول ۱).

- ۵- گوسانی Selby and Nesbitt (2000) این تغییرات را به عنوان عوامل تشخیص بیوتیت اولیه از ثانویه عنوان کرده و خاطر نشان نموده‌اند که $(Mg/Mg+Fe)_{X_{Fe}} > 0.55$ نشان‌دهنده بیوتیت گرمابی است. نسبت $Mg:Fe$:Nz نیز در بیوتیت‌های ثانویه نسبت به بیوتیت مگمایی کاهش یافته که چند رنگی ضعیف بیوتیت‌های گرمابی گویای این تغییر است. چنین تغییراتی نوسط Mehrparsto (1993) از سونگون نیز گزارش شده و علت کاهش Ti و Fe ، مشارکت این عنصر در ساختمان پیریت، کالکوپیریت و روئیت بیان شده است. از ویژگی‌های دیگر این دگرسانی در منطقه سوناجیل همانند دیگر مناطق مشابه (Muntean & Einaudi, 2000, 2001; Calagari et al., 2001) و بندیکتیتی (Banded Quartz) و به رنگ تیره است (شکل ۲). Sillitoc (2000) حالت نواری این رگجه‌ها را به دلیل بازشدنگی‌های مکرر و نفوذی‌های چند مرحله‌ای کوارتز و رنگ تیره آنها را به دلیل تمرکز مگنتیت و پیریت در باندهای خاص دانسته است.

- ۵- Gustafson et al. (2004) تراکم زیاد سیال‌های درگیر غنی از بخار و ذرات مگنتیت میکرومتری را دلیل رنگ تیره این رگجه‌ها ذکر نموده‌اند. در نمونه‌های مورد بررسی، حضور فراوان سیال‌های درگیر غنی از بخار و نیز سولفیدها و اکسیدهای بسیار ریز به خوبی آشکار است.

ب) بیشترین مقدار کانی سازی مولفیدی و اکسیدی همراه مجموعه پاتاسمی صورت گرفته و این کانی‌ها یا به صورت افسان در متن سنگ و یا در داخل رگجه‌های کوارتزی به فراوانی دیده می‌شوند. کانی‌های موجود در این زون عبارتند از: مگنتیت (۰-۵۵٪)، کالکوپیریت (۰-۷٪)، پیریت (۰-۴٪)، بوریت (۰-۱/۵٪)، تتراندریت (۰-۱٪) و انارزیت (۰-۱٪). فرایندهای سوپرژن سبب تشکیل مقادیر جزئی (۰-۲٪) کالکوپیریت، کوولیت، هماتیت و گوئیت شده‌اند.

- ۵- گوسانی فیلیک (کوارتز-سریست-پیریت): این دگرسانی در نتیجه بیرون رانده شدن Ca ، Na ، Mg از سنگ در اثر هجوم سیال‌های و تخریب کامل بافت سنگ و تشکیل سریست، کوارتز، کلریت، تورمالین دراویتی (Seedorff et al., 2005; Selby and Nesbitt, 2000) و سولفیدهایی مانند پیریت، کالکوپیریت، ثانیت و مولیبدنیت حادث می‌شود. این دگرسانی در توده سوناجیل پورفیری بسیار فراگیر بوده و بخش‌های بالایی بیشتر گمانه‌هارا شامل می‌شود (شکل ۱). این دگرسانی در نمونه دستی به رنگ روشن با لکه‌های سفید (قالب درشت بلورهای

دیده می‌شود.

۳-۶. فرایندهای سوپرژن

توده پورفیری سوناجیل بعد از ظاهر شدن در سطح زمین، تحت تأثیر شرایط سوپرژن قرار گرفته و تغییراتی در آن ایجاد شده است. این تغییرات شامل تبدیل مجموعه‌های فیلیک و پاتاسیک به کانی‌های رسی از قبیل کانولیتیت، موتمورولیوتیت، ایلیت و کلریت (دگرسانی آرژیلیک سوپرژن - Seedorff et al., 2005) و گرنات‌های مس (مالاکیت و آزوریت) و اکسیدهای آهن (هماتیت، گوتیت و جاروسیت) بوده که بخش‌های بزرگی از رخمنون توده پورفیری را پوشانده است. پیشتر کانی‌های مجموعه‌های فیلیک در بخش‌های سطحی تا حدی توسط مجموعه آرژیلیک سوپرژن پوشیده شده‌اند (overprinted) هر چند بخش عمده‌ای از دگرسانی آرژیلیک در سوناجیل دارای منشاً هیوژن می‌باشد.

- **زون اکسیدی سوپرژن:** در منطقه اکسیدان (بالای سطح آب زیرزمینی) سولفیدهای اولیه تحت تأثیر محلول‌های اکسیژن‌دار، به مجموعه‌ای از مالاکیت و آزوریت به همراه مقادیر ناچیزی نتوتوسیت تبدیل شده‌اند که همراه با اکسیدهای هیدروکسیدهای آهن (هماتیت، جاروسیت و گوتیت) در رخمنون‌های توده پورفیری دیده می‌شوند. مقادیر نسبت بالای مالاکیت و آزوریت موجود در رخمنون‌های سطحی گویای این است که بخش‌اندکی از مس توانسته به صورت محلول به پائین حمل گردد. مگنتیت‌های موجود در این توده نیز در مناطق سطحی و نیز در طول مناطق خرد شده و گسلی به هماتیت (مگمهت) و گوتیت تبدیل شده‌اند. این زون در گمانه‌های اکتشافی دارای سترای متفاوتی بوده و حداقل به ۳۵ متر می‌رسد.

- **زون سولفیدی سوپرژن:** در منطقه کاهیده (اجیانی) (زیر سطح آب زیرزمینی) سولفیدهای اولیه موجود در توده پورفیری به طور بخشی توسط کالکوست و کولولیت سوپرژن جانشین شده‌اند (شکل ۸-a,f,g,h) طبق نظر (2005) Sillitoe (2000) Chevez کم پیریت اولیه از شدت غنی شدگی سوپرژن در توده‌های پورفیری می‌کاهد. لذا با توجه به کانی‌سازی اندک پیریت در این توده و پیر آن، اسیدیته پائین محلول‌های فرورو، پیشرفت غنی شدگی سوپرژن به حد کافی صورت نگرفته است. گسترش این زون در سوناجیل اندک بوده و در برخی از گمانه‌ها اصلًا مشاهده نمی‌شود و در برخی دیگر تا ۳۰ متری زیر زون اکسیدی می‌رسد.

۳-۷. گرماستجی (قوهومتری) سیال‌های درگیر

به طور کلی ۴ تیپ اصلی سیال درگیر در توده پورفیری مورد تجزیه گرماستجی قرار گرفته‌اند شامل:

(الف) سیال‌های درگیر دوفازی غنی از مایع که به فاز مایع همگن می‌شوند ($L+V \rightarrow L$). تعداد این سیال‌های درگیر پیشتر از دیگر انواع بودند.

(ب) سیال‌های درگیر دوفازی غنی از بخار که به فاز بخار همگن می‌شوند ($L+V \rightarrow V$) و از نظر تعداد کمتر بودند.

(ج) سیال‌های درگیر هالیت‌دار که با ذوب هالیت همگن می‌شوند.

(د) سیال‌های درگیر هالیت‌دار که به طور عمده با ازین رفتن بخار همگن می‌شوند ($T_{H_2O,L} > T_{H_2O,V}$)

توزیع فراوانی سیال‌های درگیر هالیت‌دار که با ازین رفتن هالیت همگن می‌شود ($T_{H_2O,NH_4} > T_{H_2O,V}$) بین 320°C تا 580°C می‌باشد. سیال‌های درگیر هالیت‌دار که با ازین رفتن حباب بخار همگن می‌شوند ($T_{H_2O,NH_4} > T_{H_2O,L}$) یا این که حباب بخار همزمان با هالیت ازین می‌رود ($T_{H_2O,NH_4} > T_{H_2O,V}$) دامنه‌ای از 320°C تا 520°C نشان می‌دهند. هیستوگرام فراوانی سیال‌های درگیر دو فازی قادر هالیت که به حالت مایع همگن می‌شوند نشان می‌دهد که $T_{H_2O,V}$ در این نوع سیال‌های درگیر دارای دامنه

سوناجیل گسترش این مجموعه‌ها به خوبی دیده می‌شود. در نتایج تجزیه XRD از نمونه‌های برداشت شده از گمانه‌ها (Hosseinzadeh, 2008)، حضور کانولینیت، ایلیت-سریسیت، مونتموریلوئیت و کلریت مشخص شده است. در نمونه‌های سطحی با توجه به تأثیر پدیده‌های سوپرژن در افزایش این کانی‌ها، مقادیر بالاتری از آنها حضور دارد.

۳-۸. کافی‌سازی هیوژن

کانی‌سازی سولفیدی گرمابی هیوژن در داخل توده سوناجیل پورفیری به صورت افشار در متن سنگ و در داخل رگه-رگجه‌های کوارتزی و نیز به صورت رگه‌ای در حاشیه این توده رخ داده است. یشترین حجم کانی‌سازی سولفیدی در این توده به همراه دگرسانی پاتاسیمی و تاحد کمتری فیلیک می‌باشد. رگه‌های غنی از سولفید (شکل ۹) در حاشیه توده پورفیری قرار دارند. کانی‌های سولفیدی در این توده عبارتند از پیریت، کالکوپیریت، بورنیت، ترااندریت، انارژیت و مولیبدنیت.

پیریت (۷-۶%): به صورت افشار و نیز در داخل رگجه‌های کوارتزی حضور داشته و به طور عمده به حالت شکل دار تا شکل با جانشینی، همرشدی یا تاخیر نسبت به کالکوپیریت (اشکال ۸-a,c,e) و بورنیت دیده می‌شود. مقادیر پیریت نیز در محل و اطراف کانی‌های فرومینزین دگرسان شده دیده می‌شود. در توالی پارازنیت کانی‌سازی سولفیدی (شکل ۷)، این کانی اولین کانی تشکیل شده توسط محلول‌های گرمابی می‌باشد.

کالکوپیریت (۴-۶%): مهم‌ترین سولفید مس در این توده بوده و به صورت افشار در کنار محصولات دگرسانی کانی‌های فرومینزین، جانشینی به جای پیریت یا همرشدی با آن و همراه با رگجه‌های کوارتزی قابل مشاهده است. این کانی گاه جانشین مگنتیت شده و خود توسط بورنیت، ترااندریت و انارژیت جایگزین شده است (اشکال ۸-a تا ۸-e).

بورنیت (۲-۴%): نیز همانند دیگر سولفیدها به صورت افشار، در داخل رگجه‌های کوارتزی و نیز در رگجه‌های سولفیدی حاشیه‌ای (شکل ۶) حضور داشته و جانشین کالکوپیریت شده است. این کانی نیز از حاشیه به ترااندریت و انارژیت تبدیل شده است (شکل های ۸-f,g).

ترااندریت و انارژیت (۱-۲%): از کانی‌های سولفوسالی رایج در این کانسار بوده و یکی از مشخصه‌های کانی‌سازی هیوژن در این توده می‌باشد. به عقیده (Ixer and Pattrick, 2000) ترااندریت در بازه وسیعی از شرایط گرمابی پایدار بوده و به طور عمده از سیال‌های اسیدی و شورابه‌های کانی‌ساز در درجه حرارت $200\text{-}400^{\circ}\text{C}$ تشکیل شود. این کانی از کانسارهای مس پورفیری مختلف مانند سونگون (2004) (Calagari, 2004) بیوت، چوکی کوماتا و بینگهام (Seedorff et al., 2005) گزارش شده است. انارژیت در بازه دمایی محدودتری نسبت به ترااندریت ($300\text{-}400^{\circ}\text{C}$) در شرایط HS (High sulfidation) و از محلول‌های بسیار اسیدی تشکیل می‌شود (Ixer and Pattrick, 2000). در نمونه‌های مطالعه شده، این کانی‌های سولفوسالی جانشین کالکوپیریت و بورنیت شده و در اثر دگرسانی سوپرژن از حاشیه به کوولیت تبدیل شده‌اند. (شکل های ۸-a,b,c,d,e,f,g).

مگنتیت (۱۰-۱۵%): مهم‌ترین کانی اکسیدی در این توده بوده و به طور عمده همراه با محصولات دگرسانی پاتاسیم، پروپیلیتیک و به مقدار خیلی جزئی فیلیک حضور دارد. در بخش‌های مختلف گمانه‌ها بوریه در زون پاتاسیم، این کانی به صورت افشار به تسبیت فراوان بوده و به مقدار کمتری در داخل رگجه‌های کوارتزی دیده می‌شود.

هماتیت (۲-۵%): به مقدار اندک و در اعماق برخی از گمانه‌ها به صورت نسبتاً شکل دار (با منشاً هیوژن) حضور داشته و در همراهی با سولفیدهای مس و پیریت

پاراژنتیک سولفیدها، نشانگر ورود مقادیر زیادی As و Sb توسط سیال‌های گرمایی به نسبت تأخیری به داخل زون‌های کانی‌سازی و جانشینی این کانی‌های سولفosalانی به جای سولفیدهای اصلی است. در ضمن، تشکیل این کانی‌ها دال بر اسیدیته بالای سیال گرمایی و شرایط سولفیداسیون بالا (HS) در مراحل نهایی کانی‌سازی هیوژن می‌باشد.

- غنی‌شدنگی ثانویه اندک در این توده می‌تواند ناشی از حجم اندک کانی‌سازی پیریت و پیرو آن، عدم تأمین اسیدیته لازم جهت شستشوی اسیدی مؤثر سولفیدها باشد. رخمنونهای مطحعی آتشنه با مالاکیت و آزویریت در بخش‌های مختلف توده پوروفیری گویای این فرضیه است.

- ویژگی‌های سیال‌های در گیر مطالعه شده در این توده شباهت بسیار زیادی به دیگر توده‌های پوروفیری داشته و شواهد وقوع پدیده جوشش در این مطالعه مشاهده گردید.

۵- سپاسگزاری

این کار تحقیقاتی از طرف معاونت تحصیلات تکمیلی دانشگاه تبریز، امور اکتشافات و امور تحقیق و توسعه شرکت ملی صنایع مس ایران حمایت مالی شده است. مؤلفین مقاله از مشغولان محترم دانشگاه تبریز، مدیران شرکت مس و همچنین از مدیر مستول، هشت تحریریه و داوران محترم فصلنامه علوم زمین‌شناسی و قدردانی می‌نمایند.

جدول ۱- نتایج تجزیه میکروپروب بیوتیت‌های ثانویه زرن پاتاسیک و پک بیوتیت اولیه به نسبت سالم

شماره نمونه	S ₁ -128	S ₁ -128	S ₁ -128	S ₁ -128	S ₁ -139
نوع دگرسانی	پاتاسیک	پاتاسیک	پاتاسیک	پاتاسیک	پاتاسیک
نوع بیوتیت	ثانویه	ثانویه	ثانویه	ثانویه	ثانویه
SiO ₄	36.7	35.85	36.38	38.7	37.7
TiO ₄	5.32	4.82	5.07	3.27	3.45
Al ₂ O ₃	14.14	15.11	15.32	16.17	15.91
Cr ₂ O ₃	0	0	0	0	0.03
FeO	15.32	13.34	13.53	12.67	13.31
MnO	0.5	0.5	0.48	0.42	0.48
MgO	11.41	13.56	16.19	14.43	14.09
CaO	0	0	0	0	0
Na ₂ O	0.07	0.17	0.52	0	0.34
K ₂ O	11.9	10.72	10.47	11.6	11.47
Total	95.36	94.07	97.96	97.26	96.82
تعداد کاتیون‌ها بر اساس ۱۱ اکسیژن					
Si	2.80	2.73	2.66	2.82	2.78
Ti	0.31	0.28	0.28	0.18	0.19
Al	1.27	1.36	1.32	1.39	1.38
Cr	0.00	0.00	0.00	0.00	0.00
Fe	0.98	0.85	0.83	0.77	0.82
Mn	0.03	0.03	0.03	0.03	0.03
Mg	1.30	1.54	1.76	1.57	1.55
Ca	0.00	0.00	0.00	0.00	0.00
Na	0.01	0.03	0.07	0.00	0.05
K	1.16	1.04	0.98	1.08	1.08
Total	7.85	7.85	7.93	7.84	7.90

بسیار وسیع تری بوده به طوری که از ۱۸۰°C تا ۵۶۰°C را در بر می‌گیرد. T_{11,17} در سیال‌های در گیر از این نوع که به بخار همگن می‌شوند ۳۸۰°C تا ۵۰۰°C می‌باشد. سیال‌های در گیر مطالعه شده در توده سوناجیل پوروفیری دامنه وسیعی از شوری را نشان می‌دهند که از صفر تا ۷۰٪ تغییر می‌کند. بیشترین تعداد شوری اندازه گیری شده، شوری‌های ۱۰٪-۱۰٪ بوده و شوری‌های ۴۵٪-۵۵٪ در رتبه دوم قرار دارند. سیال‌های با شوری می‌تواند به دلیل نیمه پایداری (Metastability) هالیت باشد یعنی بلورهای نوزاد خیلی ریز هالیت قادر به هسته‌بندی نیوده یا NaCl, 2H₂O در نزدیکی نقطه اشباع قادر به هسته‌بندی نیستند. این توجه برای شوری بین ۲۵٪-۳۰٪ منطقی به نظر می‌رسد. از نتایج تجزیه گرماستنجی در سوناجیل چنین برداشت می‌شود که سیال گرمایی هیوژن سازنده رگجه‌های کوارتز-سولفید در درجه حرارت حدود ۵۲۰°C شروع به جوشیدن کرده است. شاهد وقوع این پدیده در سوناجیل، همزیستی نزدیک سیال‌های در گیر دو فازی به طور عمده بخار، سیال‌های در گیر دو فازی غنی از مایع با شوری سوسط و سیالات چند فازی هالیت دار با شوری بالاست که در یک محدوده دمایی همگن می‌شوند. توده مگماهی در حال سرد شدن می‌تواند گرمایی مورد نیاز را در طول جوشش فراهم نماید تا در خلال این پدیده، شوری سیال تا ۴۵٪ افزایش یابد. با پیشرفت جوشش، سیال‌های به دام افتاده به طور فزاینده‌ای شورتر می‌شوند. فرایند جوشش در سوناجیل تا درجه حرارت ۲۵۰°C چندین بار تکرار شده و خردشده‌گاهی‌های مکرر (Hydrofracturing) در توده پوروفیری ناشی از این پدیده است. در شروع هر مرحله از جوشش و خردشده‌گاهی، سیالات با شوری به نسبت پایین به دام می‌افتدند که با ادامه جوشش، شوری سیال باقی مانده افزایش تدریجی یافته و به طور همزمان شکستگی‌های موجود توسط مجموعه‌ای از کوارتز، سولفید و کربنات مهر و مو می‌گردند که خود سبب کاهش تراوایی سنگ‌ها می‌شود.

۴- نتیجه‌گیری

- زمین‌شناسی عمومی، جایگاه زمین‌ساختی، سنگ‌شناسی، سبک دگرسانی و کانی‌سازی توده سوناجیل پوروفیری قابل مقایسه با دیگر کانسارهای مس پوروفیری از جمله سونگون می‌باشد.

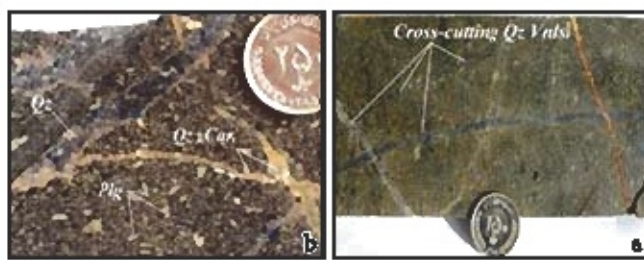
- نسل‌های مختلف رگجه‌های کوارتزی با یابدون سولفیدها و اکسیدهای هیوژن و تشکیل یافت استوک‌ورک، نشانگر مراحل مکرر خردشده‌گاهی (Shattering) ناشی از فعالیت سیستم گرمایی است.

- بیوتیت ثانویه زیاد و فلدسپار قلایی ثانویه به نسبت کم در زون پاتاسیک این توده، ناشی از ماهیت به نسبت بازیک (دیوریتی) توده سوناجیل پوروفیری نسبت به توده‌های موزنونیتی با دگرسانی پاتاسیک غنی از اورتوز ثانویه می‌باشد.

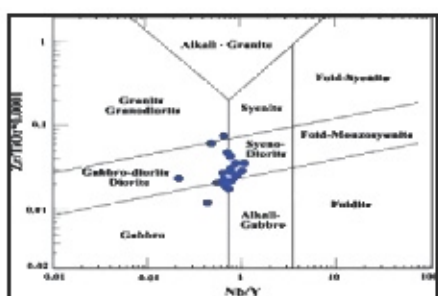
- ترکیب شیمیایی بیوتیت‌های ثانویه و میزان اکسیدهای اصلی آنها در مقایسه با بیوتیت‌های اولیه در این مطالعه، با اطلاعات حاصل از مطالعات پیشین بر روی این کانسارهای همچوانی دارد.

- تورمالین بسیار زیاد در زون‌های دگرسانی پاتاسیک و فیلیک این توده در مقایسه با سیاری از کانسارهای مطالعه شده، ناشی از متاسوماتیسم شدید بور (B) توسط سیال‌های گرمایی است. گرچه به دلیل تراکم تورمالین در همپری دایک‌ها و توده نفوذی اینچه، احتمال تأمین مقادیری از مواد مورد نیاز برای تشکیل تورمالین از طریق توده نفوذی را نباید از نظر دور داشت.

- میزان بالای تتراندrit و انارژیت موجود در این توده و موقعیت آنها در توالی



شکل ۲- (a) پالت پورفیری در توده سوتاچیل پورفیری دارای درشت بلورهای دگرسان اند
پلاکت کلارو-رگه- رگههای کوارتزی و کوارتز-کربناتی
(b) نسل های مختلف رگه- رگههای کوارتزی (استوکه ورکه) و یکه رگههای پورفت اکسیده



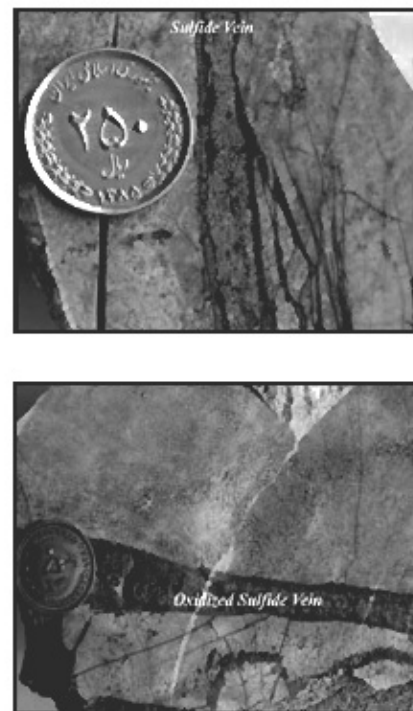
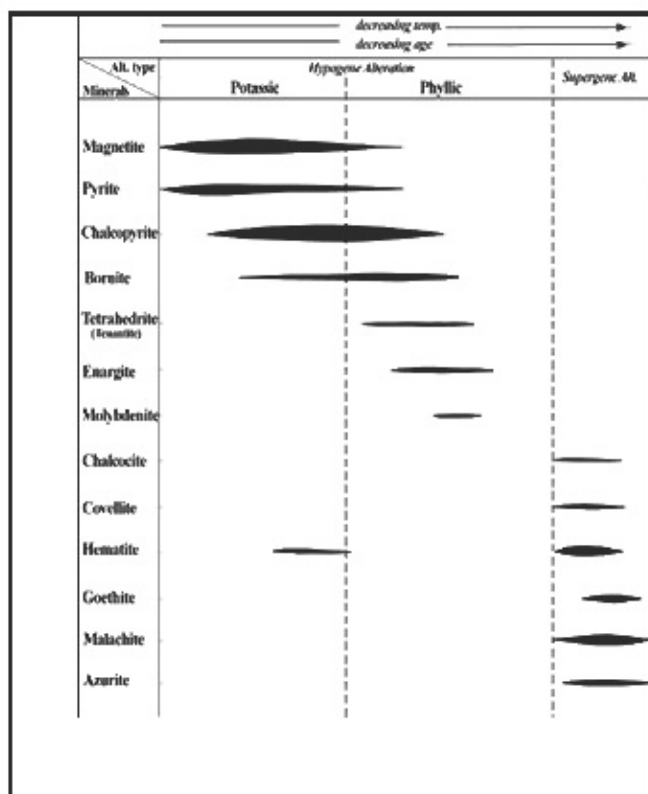
جدول ۲- نتایج تجزیه عناصر اصلی، فرعی و کمیاب نمونه های سطحی و عمقی توده سوناجیل پوروفیری به روش ICP و XRF در آزمایشگاه ALS-Chemex

SAMPLE	S-116	S-31	S-124	S-128	S-161	S-200	S-50	S-145	S-206	S-311	S-315	S-120	S-127	S-137	S-643	S-707	S-783
نحوه محل نمونه																	
SiO ₂ %	56.16	65.19	61.98	53.02	49.14	58.2	57.9	59.11	58.09	52.87	57.7	54.11	52.83	54.68	55.06	55.38	57.74
Al ₂ O ₃ %	13.63	20.11	16.57	20.64	17.68	21.9	17.44	18.3	18.32	12.9	14.6	18.14	17.67	17.47	16.6	17.14	15.71
FeO %	3.18	1.39	1.63	2.03	2.2	1.79	1.58	1.9	1.93	4.5	2.97	4.01	3.08	3.57	3.38	6.23	3.34
Fe ₂ O ₃ %	2.21	1.19	1.51	2.24	2.4	1.46	2.35	2.56	2.36	2.9	2.65	4.09	2.14	2.83	2.68	3.53	2.87
CaO %	5.6	9.15	1.1	0.97	4.59	0.58	0.97	1.72	1.75	3.3	3.98	3.4	3.12	2.85	2.52	1.96	2.84
MgO %	3.16	0.43	2.03	3.58	3.3	0.81	2.26	1.61	2.18	4.49	2.29	2.49	4.34	3.03	3.7	3.43	3.07
Na ₂ O %	0.24	0.28	2.55	2.44	2.71	1.8	4.38	3.87	0.58	2.62	3.03	2.73	2.46	2.59	0.12	2.22	
K ₂ O %	3.05	4.86	3.77	6.3	5.88	5.35	7.56	5.42	5.16	2.72	3.36	4.37	2.55	2.64	2.55	1.92	3.52
TiO ₂ %	0.42	0.53	0.8	0.59	0.53	0.67	0.65	0.6	0.54	0.49	0.6	0.95	0.65	0.68	0.63	0.92	0.6
MnO %	0.1	<0.01	0.11	0.17	0.15	0.02	0.14	0.06	0.08	0.2	0.14	0.14	0.18	0.15	0.13	0.14	0.15
P ₂ O ₅ %	0.19	0.27	0.26	0.37	0.26	0.38	0.32	0.33	0.31	0.22	0.24	0.4	0.25	0.24	0.35	0.27	
LOI %	9.19	4.31	5.24	6.06	9.89	4.92	5.18	2.9	3.56	10.85	6.65	3.8	5.1	7.65	7.46	7.87	6.28
Total %	98.36	99.09	98.22	99.11	99.16	99.14	98.79	99.38	98.61	98.3	98.15	99.29	98.58	98.96	98.2	99.98	99.58

Ba ppm	1228	1198	691	1225	1389	1345	1248	1099	1278	561	735	911	639	669	509	507	571
Ce ppm	78.6	113.5	65.3	82.7	75	82.5	77.2	72.5	68	5.7	48.1	66.9	41.3	39.4	37.5	69.5	43.9
Co ppm	8.5	7.7	6.6	5.9	14	14.7	8.2	8.5	11.4	32	14.2	22.2	20.6	17.4	19.1	26.5	15.8
Cr ppm	40	20	39	29	30	20	59	50	40	60	70	20	30	30	40	60	
Cr ppm	5.37	13.1	11.65	35.6	10.8	8.45	13.55	12.75	11.6	12.2	12.55	14.15	15.9	13.2	14.35	20.3	11.2
Cu ppm	45	31	1820	400	198	299	618	1295	1088	2640	2699	2769	1740	1189	1930	384	2460
Eu ppm	1.7	1.52	1.24	1.7	1.35	1.24	1.43	1.4	1.24	0.94	1.18	1.53	1.02	0.94	1.02	1.9	1.04
Hf ppm	7	3.7	4.7	5.7	5.6	7	5.6	5.6	5.7	4.5	3.8	3.2	3.7	3.4	3.5	3.9	
La ppm	44.5	22.4	36.7	36.4	40.9	44.3	42.8	40.4	36.8	27.2	25.5	34.8	22	20.6	20.1	36	22.9
Nb ppm	17.2	9	14.6	18.4	17	21.4	16.4	17	17.8	11.7	9.2	12.3	7.6	8.6	7.3	7.6	8.9
Nd ppm	34.4	56.1	25.4	35.3	31.5	34.2	31.9	29.6	28.5	22.5	22.6	31.2	19	18	17.8	33.2	19.8
Rb ppm	130	167.8	143	233	165	182.8	238	170.8	169	114	129	157	103	113	94.5	87.8	124.8
Sm ppm	6.63	8.53	4.83	6.84	5.88	6.1	6.3	5.42	5.53	4.37	4.64	6.33	4.04	3.48	3.6	5.4	4.03
Sr ppm	766	599	376	64	522	389	315	523	533	209	437	421	1239	578	1239	81.1	365
Ta ppm	1.1	0.8	0.9	1.1	1.1	1.3	1.1	1.1	1.5	0.7	0.6	0.8	0.6	0.6	0.6	0.6	0.6
V ppm	77	114	95	120	111	92	102	172	120	154	174	237	201	188	193	1058	182
Y ppm	37.4	53.3	16.8	23.9	20.9	21.9	21.2	29	19.8	10.1	16.3	22.5	13.7	11.6	13.1	19.8	14.5
Yb ppm	3.34	8.19	1.76	2.49	2.43	2.49	2.47	2.22	2.23	1.94	1.74	2.38	1.59	1.42	1.35	2.17	1.51
Zr ppm	65	25	176	184	138	40	329	95	79	551	338	245	285	370	207	424	304
Zr ppm	248	123	170.5	211	200	256	193	205	210	149.5	126	171.5	116	115	103.5	125	

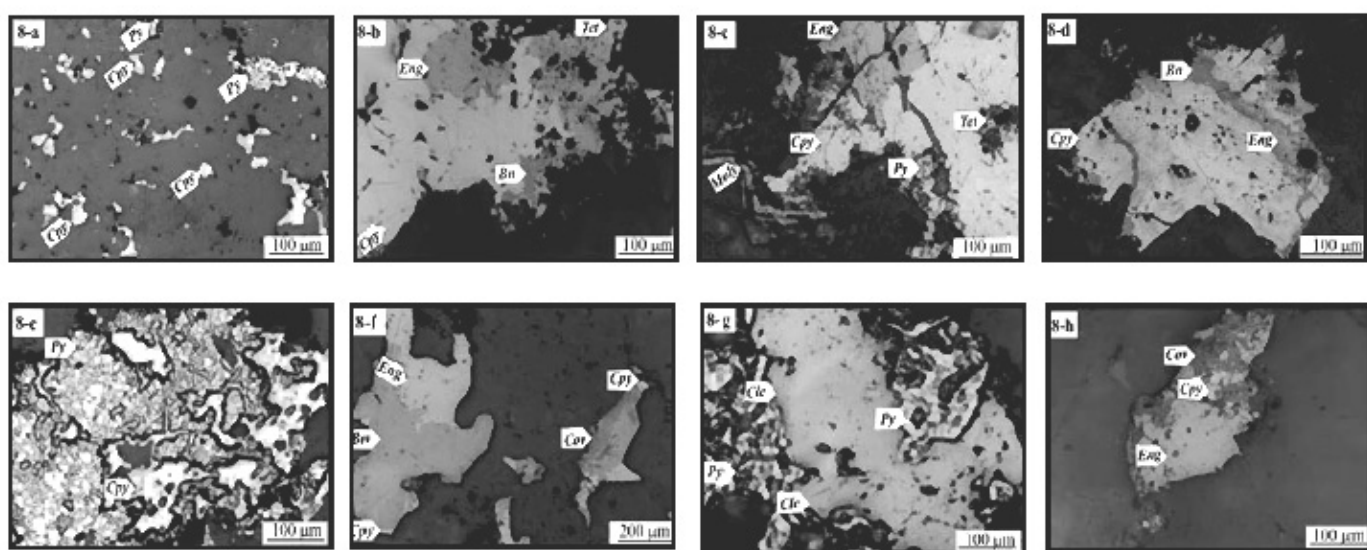
جدول ۲ (دامنه)

SAMPLE	SS-108	SS-119	SS-169	SS-178	SS-190	SS-197	SS-887	SS-97.4	1-32	1-47A	1-49	1-69	1-73A	1-86	1-88	1-99	1-106
نحوه محل نمونه																	
SiO ₂ %	55	54.62	65.16	68.96	55.56	56.63	61.16	58.89	61.77	62.13	67.36	60.09	67	60.77	69.37	65.9	58.61
Al ₂ O ₃ %	15.81	18.6	16.82	15.11	19.4	20.65	16.75	17.95	18.19	14.13	18.55	18.44	18.79	17.21	18.47	18.68	21.31
FeO %	1.81	1.99	1.94	1.62	2.23	2.03	1.52	1.87	3.15	4.85	1.31	1.94	0.98	1.9	2.91	1.59	1.42
Fe ₂ O ₃ %	2.16	2.6	1.23	0.59	2.72	2.08	1.9	2.3	2.19	2.88	1.14	2.64	0.94	2.63	2.52	2.1	1.8
CaO %	1.71	2.5	1.28	1.38	1.85	1.11	2.65	3.07	0.51	1.97	0.31	2.89	0.69	0.34	3.28	0.62	1.6
MgO %	1.02	1.96	0.69	1.95	1.81	1.65	0.7	1.05	0.79	1.3	0.8	1.42	0.68	1.44	1.35	1.22	1.59
Na ₂ O %	3.22	3.2	2	9.8	3.2	1.13	4.22	4.42	4.2	9.8	0.52	1.57	0.59	3.14	1.56	3	4.3
K ₂ O %	2.28	6.35	5.98	1.76	3.42	6.09	4.09	1.6	1.49	1.24	1.79	3.05	2.2	6.09	2.02	6.29	4.98
TiO ₂ %	0.53	0.57	0.46	0.4	0.59	0.84	0.54	0.57	0.65	0.8	0.6	0.65	0.42	0.58	0.61	1.61	0.67
MnO %	0.18	0.25	0.16	0.09	0.12	0.14	0.14	0.12	0.07	0.05	0.02	0.16	0.01	0.1	0.05	0.04	0.05
P ₂ O ₅ %	0.28	0.35	0.06	0.19	0.29	0.34	0.34	0.36	0.21	0.21	0.25	0.25	0.08	0.29	0.23	0.26	0.29
LOI %	1.38	5.29	3.3	7.45	3.86	6.59	3.43	3.12	4.2	6.32	3.46	4.17	4.95	1.99	2.59	2.05	2.81
Total %	98.67	98.87	99.35	98.46	98.95	99.93	98.24	98.79	98.76	99.15	99.2	99.96	99.79	99.53	99.94	99.61	
Ba ppm	1228	1182	929	228	2.2	242	272	1989	228	399	12	1410	669	1489	902	1454	1390
Ce ppm	68.7	70.8	90.2	95.8	88.1	52.9	64.8	71.1	30.8	26.9	69.7	81.1	95	87.6	29	26.8	79.7
Co ppm	6.9	10.2	3	4.7	16.9	5.4	4.3	7.9	17.3	10.	19	5.5	1.4	8.5	9.5	6.1	4.5
Cr ppm	120	50	89	40	39	20	9.9	70	49	20	10	10	10	10	20	10	10
Cr ppm	4.95	5.28	4.59	3.5	15.45	15.35	3.67	8.2	10.28	2.06	4.68	8.09	7.84	20.2	2.88	8.61	5.3
Cu ppm	3599	2789	1599	2010	753	932	1712	146	52	334	326	41	337	335	3220	20	
Eu ppm	1.37	1.38	1.39	1.92	1.52	1.53	1.27	1.38	0.88	0.7	1.35	1.6	1.82	1.45	0.97	1.2	1.8
Hf ppm	1.2	3	6.3	6	2.6	3.2	4.8	2	4.5	2.9	3.8	8.4	6.4	6.4	2.8	3.8	3.9
La ppm	37.5	36.8	44.8	35.2	44.5	46.7	35.2	38.5	21.4	1.28	40.8	44.7	30.1	47.1	17.1	35.6	44.9
Nd ppm	12.7	15.1	19.1	17.8	16.8	17.2	14.4	15.6	9.3	8.1	18.6	26.2	2	3.3	17.4	20.4	
Nd ppm	28.2	29.7	32.7	27	34.8	36.4	27.5	29.6	17.8	12.7	35.1	36					



شکل ۷- کانی‌سازی رگه‌ای و رگه‌های در نمودهای سالمیه ترude پورفیری

شکل ۷- توانی پارازیتیکه تشکیل کانی‌های آکسیدی، سرتیلیدی، سوتیوسکی و کربناتی پیروزنا و سرمهزنا در ترude پورفیری سوچالیم در مرحله سلطنت دگرسان.



شکل ۸- تصاویر میکروسکوپی از نمونه‌های کانه‌دار ترude پورفیری سوچالیم در فرود اندکاست: (a) پیروزت و کالکوریت اشنان در متن قرود پورفیری (b) تشکیل کالکوریت، پورتیت، ترافلوریت و اناریت در ترude پورفیری که به کانی اسید جاشن کالکوریت خده‌اند. (c) رگه‌هه مولیبدیتی در کوار و رگه سوتیلیدی (سازی پیروزت، کالکوریت و ترافلوریت) در سالمیه ترude پورفیری (d) جاشنی پیروزت و اناریت به جای کالکوریت (e) تاشر کالکوریت لسبت به پیروزت (f) جاشنی کورولیت (و کالکوریت) به جای اناریت، (g) جاشنیں کالکوریت و پیروزت توسط کالکوریت (h) جاشنی کورولیت به جای کالکوریت و اناریت در ترude پورفیری.

كتابنگاري

- حسين زاده، ق.، ۱۳۸۷- مطالعات زمين شناسی، ژوشيمى، سيالات در گير، کاني سازى، دگرسانى و ژنر کانسار مس پورفيري سوناجيل، خاور هريس (آذربایجان شرقى). رساله دکтри دانشگاه تبريز، ۲۱۸ صفحه.
- حسين زاده، ق.، مؤيد، م.، کلاگرى، ع.ا.، ۱۳۸۴- ماگماتيسم کواترنرى در کانسار مس پورفيري سوناجيل با نگرشى بر سبک کاني سازى در منطقه (هريس، آذربایجان شرقى). نهمين همايش انجمن زمين شناسى ايران. دانشگاه تربيت معلم تهران.
- حسين زاده، ق.، مؤيد، م.، کلاگرى، ع.ا.، حاج عليلو، ب.، مؤذن، م.، ۱۳۸۷- بررسى های سنگ شناسى و سنگ زاپي توده نفوذى اينچه (خاور هريس، آذربایجان شرقى). مجله بلور شناسى و کاني شناسى ايران. سال شانزدهم، شماره دوم. ۱۸۹ تا ۲۰۶.
- نبوي، م.ح.، ۱۳۵۵- دياچهای بر زمين شناسى ايران. انتشارات سازمان زمين شناسى كشور.

References

- Calagari, A. A., 2004- Geology and fracture-related hypogene hydrothermal alteration and mineralization of porphyry copper deposit at Sungun, Iran. Journal Geological Survey of India, 64: 595-618.
- Calagari, A. A., Patrick, R. A. D., & Polya, D. A., 2001- Veinlets and micro-veinlets studies in Sungun porphyry copper deposit, East Azarbaidjan, Iran. Geosciences, Geological Survey of Iran, English version, 10 (39-40): 70-79.
- Chavez, W. X. Jr., 2000- Supergene oxidation of copper deposits: Zoning and distribution of copper oxide minerals, Society of Economic Geologists Newsletter, 41: 0-21.
- Creasey, S. C., 1966- Hydrothermal alteration, in Titley, S. R., and Hicks, C. L., eds., Geology of the porphyry copper deposits, southwestern North America. Tucson, University of Arizona Press, pp. 51-74.
- Gustafson, L. B., Vidal, C., Pinto, R. & Noble, D. C., 2004- Porphyry-epithermal transition, Cajamarca region, Northern Peru, Society of Economic Geologists Special Publication, 11: 279-299.
- Hedenquist, J.W., Arribas, A. & Reynolds, J. R., 1998- Evolution of an intrusion-centered hydrothermal system: Far Southeast-Lepanto porphyry and epithermal Cu-Au deposits, Philippines, Economic Geology, 93: 373-404.
- Hemley, J. J., Montoya, J. W., Marinenko, J. W. & Luce, R. W., 1980- Equilibria in the system Al₂O₃-SiO₂-H₂O and some general implications for alteration/mineralization processes, Economic Geology, 75: 210-228.
- Ixer, R. A., Patrick, R. A., D, 2000- Copper-arsenic ores and bronze age mining and metallurgy with special reference to the British Isles. (Downloaded from internet).
- Lowell, J. D. & Guilbert, J. M., 1970- Lateral and vertical alteration-mineralization zoning in porphyry ore deposits, Economic Geology, 65: 373-408.
- Mehrpartou, M., 1993- Contributions to the geology, geochemistry, ore genesis and fluid inclusion investigations on Sungun Cu-Mo porphyry deposit, northwest of Iran. Ph.D. dissertation, University of Hamburg, Germany. p.245.
- Muntean, J. L. & Einaudi, M. T., 2000- Porphyry gold deposits of the Refugio district, Maricunga belt, Northern Chile, Economic Geology, 95: 1445-1472.
- Muntean, J. L. & Einaudi, M. T., 2001- Porphyry-epithermal transition: Maricunga belt, Northern Chile, Economic Geology, 96: 743-772.
- Pearce, J. A., 1996- Source and setting of granitic rocks, Episode, 19: 120-125.
- Pearce, J. A., Harris, N. B. W. & Tindale, A. G., 1984- Trace element discrimination diagrams for the tectonic interpretation of granitic rocks, Journal of Petrology, 25: 956-983.
- Rae, A. J., Cooke, D. R., Phillips, D., Yeats, C., Ryan, C. & Hermoso, D., 2003- Spatial and temporal relationships between hydrothermal alteration assemblages at the Palinpinon geothermal field, Philippines: Implications for porphyry and epithermal ore deposits, Society of Economic Geologists Special Publication, 10: 223-246.
- Seedorff, E., Dilles, J. H., Proffett, J. M., Jr., Einaudi, M. T., Zurcher, L., Stavast, W. J. A., Johnson, D. A. & Barton, M. D., 2005- Porphyry deposits: Characteristics and origin of hypogene features. Economic Geology 100th Anniversary Volume, pp. 251-298.
- Selby, D. & Nesbitt, B. E., 2000- Chemical composition of biotite from the Casino porphyry Cu-Au-Mo mineralization, Yukon, Canada: Evaluation of magmatic and hydrothermal fluid chemistry. Chemical Geology, 172: 77-93.
- Sillitoe, R. H., 2000- Gold-rich porphyry deposits: Descriptive and genetic models and their role in exploration and discovery. SEG Review, 13: 315-345.
- Sillitoe, R. H., 2005- Supergene oxidized and enriched porphyry copper and related deposits, Economic Geology 100th Anniversary Volume, pp. 723-768.
- Sillitoe, R. H. and Gappe, I. M., Jr., 1984- Philippine porphyry copper deposits: Geologic setting and characteristics. United Nations Economic and Social Commission Asia-Pacific, Committee Coordination Joint Prospecting Mineral Resources Asian Offshore Areas Technical Publication 14: 89p.
- Stoklin, J., 1977- Structural correlation of the Alpine ranges between Iran and central Asia, Memoir Hors serie de la Societe Geologique de France, 8: 333-335.
- Ulrich, T. and Heinrich, C. A., 2002- -Geology and alteration geochemistry of the Porphyry Cu-Au Deposit at Bajo de la Alumbrera,

Argentina-, Economic Geology, 97: 1865-1888.

Winchester, J. A. and Floyd, P. A., 1977- Geochemical discrimination of different magma series and their differentiation products using immobile elements, Chemical Geology, 16: 325-343.

Study of Hypogen Alteration and Copper Mineralization in Sonajil Area (East of Herris, East Azarbaidjan)

Gh. Hosseini-zadeh¹, A.A. Calagari², M. Moayyed¹, B. Hadj-Alliu³ & M. Moazzen¹

¹ Geology Department, Faculty of Natural Sciences, Tabriz University, Tabriz, Iran

² Research Institute for Fundamental Sciences (RIFS), Tabriz University, Tabriz, Iran

³ Geology Department, Payam-Nour University, Tabriz, Iran

Received: 2008 February 13 Accepted: 2008 November 29

Abstract

The Sonajil area is located in ~17 km east of Herris, East-Azrbaidjan. The major lithological units in the area include bodies of volcanic and volcanoclastic rocks (lower to middle Eocene), Sonajil porphyry stock (upper Eocene-lower Oligocene), Incheh granitoid stock (diorite, aegiroc-diorite, gabbro) (middle-upper Oligocene), and Okuzdaghi volcanic rocks (Plio-Quaternary). The Sonajil porphyry stock hosts a porphyry copper-type mineralization and varies in composition from micro-aegiroc-diorite through micro-gabbro and micro-granodiorite, featuring principally porphyritic to microlithic porphyry textures. The parental magma of these igneous bodies had shoshonitic character (to high-K calc-alkaline), and tectonically belongs to post-collisional volcanic arc. Various generations of banded quartz, quartz-sulfides, quartz-oxides, and sulfides veinlets and micro-veinlets were developed within the porphyry body featuring typical stockwork texture. Veins of sulfide mineralization are also present in peripheral parts of the porphyry body. Alteration and mineralization occurred principally within the Sonajil porphyry stock. Three types of pervasive hypogene alterations are developed in Sonajil stock: (1) potassic; (2) phyllitic; and (3) propylitic. The principal hypogene opaque minerals include pyrite, chalcopyrite, bornite, tetrahedrite, enargite, molybdenite, hematite and magnetite occurring as dissemination and stockwork (veinlets and micro-veinlets). The chief supergene minerals in this body are hematite, goethite, malachite, azurite, chalcocite, covellite, and clay minerals.

Key words: Sonajil; Porphyry copper; Post-collisional volcanic arc; Hypogene alteration; Potassic alteration; Supergene alteration.

For Persian Version see pages 3 to 12

* Corresponding author: Gh. Hosseini-zadeh; E-mail: Hosseini-zadehgh@yahoo.com